MOSFET

英飞凌高耐热80 V OptiMOS™ 5 功率晶体管

PG-TDSON-8

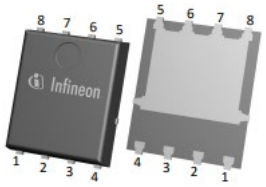

特性

- 针对高性能 SMPS（例如同步整流）进行优化
- 额定温度为 175°C
- 100% 雪崩测试
- 卓越的耐热性
- N沟道
- 无铅镀层；符合RoHS标准
- 符合 IEC61249-2-21 标准的无卤素

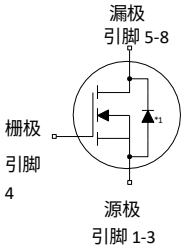

产品验证

完全符合 JEDEC 工业应用标准

表 1　　主要性能参数

Parameter	Value	Unit
V_{DS}	80	V
$R_{DS(on),max}$	3.7	mΩ
I_D	136	A
Q_{oss}	56	nC
Q_G(0V..10V)	46	nC

*1：内部体二极管

Type/Ordering Code	Package	Marking	Related Links
BSC037N08NS5	PG-TDSON-8	037N08NS	-

本数据手册的原文使用英文撰写。为方便起见，英飞凌提供了译文；由于翻译过程中可能使用了自动化工具，英飞凌不保证译文的准确性。 为确认准确性，请务必访问 infineon.com 参考最新的英文版本（控制文档）。

目录

1 最大额定值

除非另有规定

表 2 最大额定值

Parameter	Symbol	Values			Unit	Note/ Test Condition
		Min.	Typ.	Max.		
Continuous drain current [1]	I_D	-	-	136 96 22	A	V_{GS}=10 V, T_C=25 °C V_{GS}=10 V, T_C=100 °C V_{GS}=10 V, T_A=25 °C, R_{thJA}=50K/W [2]
Pulsed drain current [3]	$I_{D,pulse}$	-	-	544	A	T_C=25 °C
Avalanche energy, single pulse [4]	E_{AS}	-	-	140	mJ	I_D=50 A, R_{GS}=25 Ω
Gate source voltage	V_{GS}	-20	-	20	V	-
Power dissipation	P_{tot}	-	-	136 3.0	W	T_C=25 °C T_A=25 °C, R_{thJA}=50 K/W [2]
Operating and storage temperature	T_j, T_{stg}	-55	-	175	°C	-

[1] 额定值的适用条件：产品在数据手册中规定的绝对最大值条件下运行、确保外壳温度为25°C

更高的外壳温度请参见图 2。需要根据实际环境条件降低额定值。

[2] 器件置于40 mm × 40 mm × 1.5 mm 环氧树脂 PCB FR4基板上，配有6 cm^2（单层，70微米厚）铜层，用于漏极连接。PCB

垂直放置在静止空气中。

[3] 详细信息请参见图 3

[4] 详细信息请参见图 13

2 热特性

表3 热特性

Parameter	Symbol	Values			Unit	Note/ Test Condition
		Min.	Typ.	Max.		
Thermal resistance, junction - case, bottom	R_{thJC}	-	0.7	1.1	K/W	-
Thermal resistance, junction - case, top	R_{thJC}	-	-	20	K/W	-
Device on PCB, 6 cm^2 cooling area [5)]	R_{thJA}	-	-	50	K/W	-

5) 器件置于40 mm × 40 mm × 1.5 mm 环氧树脂 PCB FR4基板上，配有6 cm^2（单层，70微米厚）铜层，用于漏极连接。PCB 垂直放置在静止空气中。

3 电气特性

除非另有规定

表4 静态特性

Parameter	Symbol	Values			Unit	Note/ Test Condition
		Min.	Typ.	Max.		
Drain-source breakdown voltage	$V_{(BR)DSS}$	80	-	-	V	V_{GS}=0 V, I_D=1 mA
Gate threshold voltage	$V_{GS(th)}$	2.2	3	3.8	V	V_{DS}=V_{GS}, I_D=72 µA
Zero gate voltage drain current	I_{DSS}	-	0.1 10	1 100	µA	V_{DS}=80 V, V_{GS}=0 V, T_j=25 °C V_{DS}=80 V, V_{GS}=0 V, T_j=125 °C
Gate-source leakage current	I_{GSS}	-	10	100	nA	V_{GS}=20 V, V_{DS}=0 V
Drain-source on-state resistance	$R_{DS(on)}$	-	3.2 4.4	3.7 5.3	mΩ	V_{GS}=10 V, I_D=50 A V_{GS}=6 V, I_D=25 A
Gate resistance [6]	R_G	-	1.3	2.0	Ω	-
Transconductance	g_{fs}	47	94	-	S	$\|V_{DS}\|>2\|I_D\|R_{DS(on)max}$, I_D=50 A

6) 由设计定义。未经过生产测试。

表 5 动态特性 [7]

Parameter	Symbol	Values			Unit	Note/ Test Condition
		Min.	Typ.	Max.		
Input capacitance	C_{iss}	-	3200	4200	pF	V_{GS}=0 V, V_{DS}=40 V, f=1 MHz
Output capacitance	C_{oss}	-	530	690	pF	V_{GS}=0 V, V_{DS}=40 V, f=1 MHz
Reverse transfer capacitance	C_{rss}	-	25	44	pF	V_{GS}=0 V, V_{DS}=40 V, f=1 MHz
Turn-on delay time	$t_{d(on)}$	-	14	-	ns	V_{DD}=40 V, V_{GS}=10 V, I_D=50 A, $R_{G,ext}$=3 Ω
Rise time	t_r	-	10	-	ns	V_{DD}=40 V, V_{GS}=10 V, I_D=50 A, $R_{G,ext}$=3 Ω
Turn-off delay time	$t_{d(off)}$	-	26	-	ns	V_{DD}=40 V, V_{GS}=10 V, I_D=50 A, $R_{G,ext}$=3 Ω
Fall time	t_f	-	7	-	ns	V_{DD}=40 V, V_{GS}=10 V, I_D=50 A, $R_{G,ext}$=3 Ω

7) 由设计定义。未经过生产测试。

表 6 栅极电荷特性 [8]

Parameter	Symbol	Values			Unit	Note/ Test Condition
		Min.	Typ.	Max.		
Gate to source charge	Q_{gs}	-	15	-	nC	V_{DD}=40 V, I_D=50 A, V_{GS}=0 to 10 V
Gate charge at threshold	$Q_{g(th)}$	-	9.0	-	nC	V_{DD}=40 V, I_D=50 A, V_{GS}=0 to 10 V
Gate to drain charge	Q_{gd}	-	10	15	nC	V_{DD}=40 V, I_D=50 A, V_{GS}=0 to 10 V
Switching charge	Q_{sw}	-	16	-	nC	V_{DD}=40 V, I_D=50 A, V_{GS}=0 to 10 V
Gate charge total	Q_g	-	46	58	nC	V_{DD}=40 V, I_D=50 A, V_{GS}=0 to 10 V
Gate plateau voltage	$V_{plateau}$	-	4.8	-	V	V_{DD}=40 V, I_D=50 A, V_{GS}=0 to 10 V
Gate charge total, sync. FET	$Q_{g(sync)}$	-	40	-	nC	V_{DS}=0.1 V, V_{GS}=0 to 10 V

表 6　　栅极电荷特性 [8)]

Parameter	Symbol	Values			Unit	Note/ Test Condition
		Min.	Typ.	Max.		
Output charge	Q_{oss}	-	56	74	nC	V_{DD}=40 V, V_{GS}=0 V

[8)] 有关参数定义，请参见“栅极充电波形”。由设计标定，不受制于生产测试。

表 7　　反向二极管

Parameter	Symbol	Values			Unit	Note/ Test Condition
		Min.	Typ.	Max.		
Diode continuous forward current	I_S	-	-	124	A	T_C=25 °C
Diode pulse current	$I_{S,pulse}$	-	-	544	A	T_C=25 °C
Diode forward voltage	V_{SD}	-	0.9	1.1	V	V_{GS}=0 V, I_F=50 A, T_j=25 °C
Reverse recovery time [9)]	t_{rr}	-	41	83	ns	V_R=40 V, I_F=50 A, di_F/dt=100 A/µs
Reverse recovery charge [9)]	Q_{rr}	-	36	72	nC	V_R=40 V, I_F=50 A, di_F/dt=100 A/µs

[9)] 由设计标定，不受制于生产测试。

4 电气特性图

图 1：功率耗散

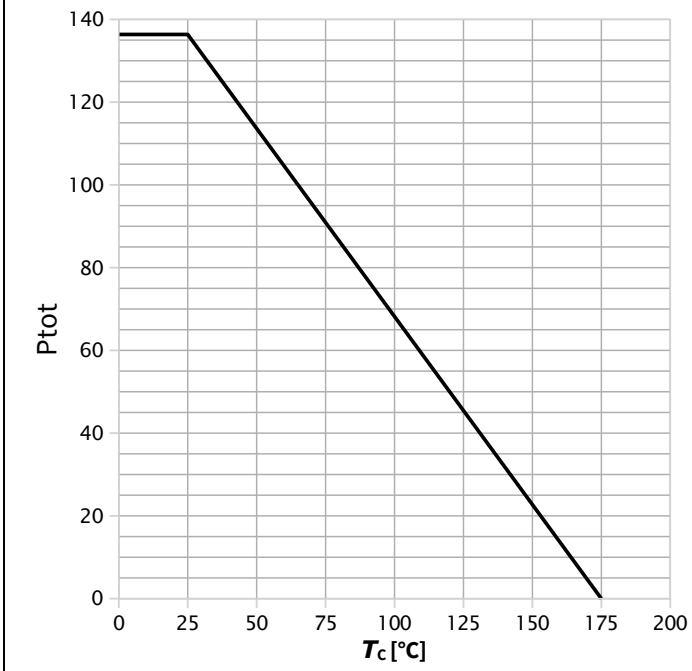

$P_{tot}=f(T_C)$

图 2：漏极电流

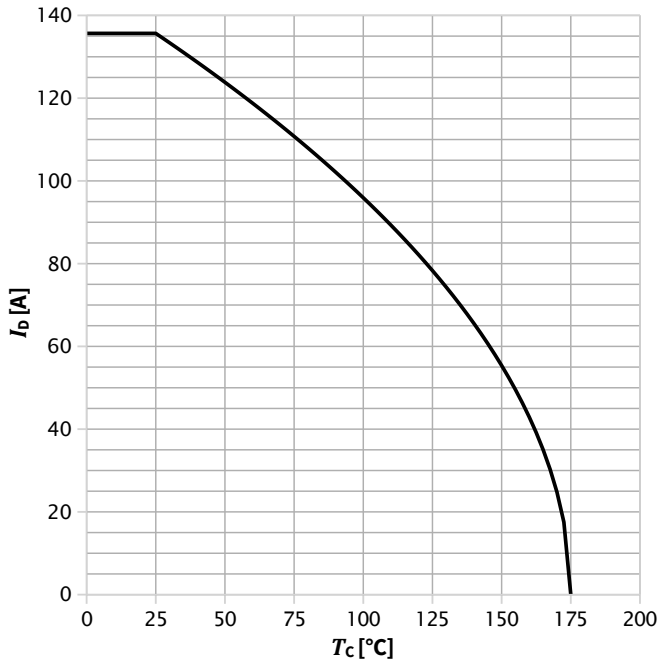

$I_D=f(T_C)$; $V_{GS}\geq 10$ V

图 3：安全操作区

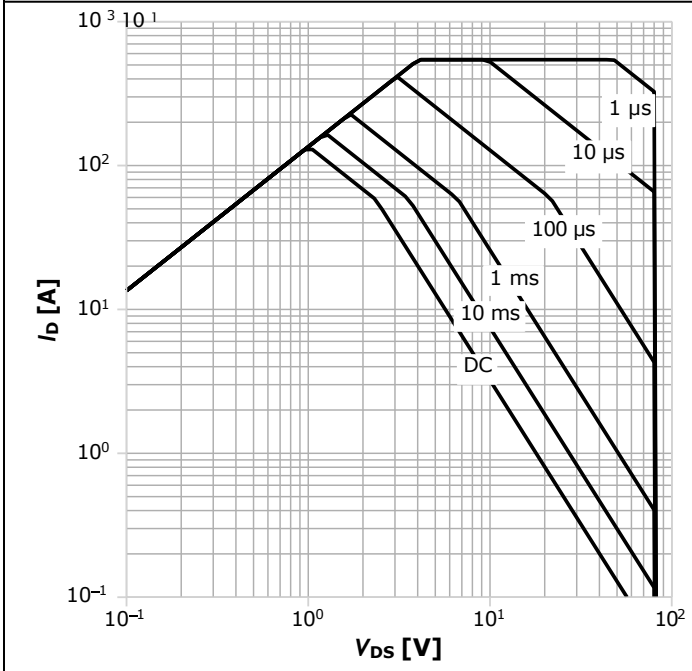

$I_D=f(V_{DS})$; T_C=25 °C; D=0; 参数：t_p

图 4：最大瞬态热阻抗

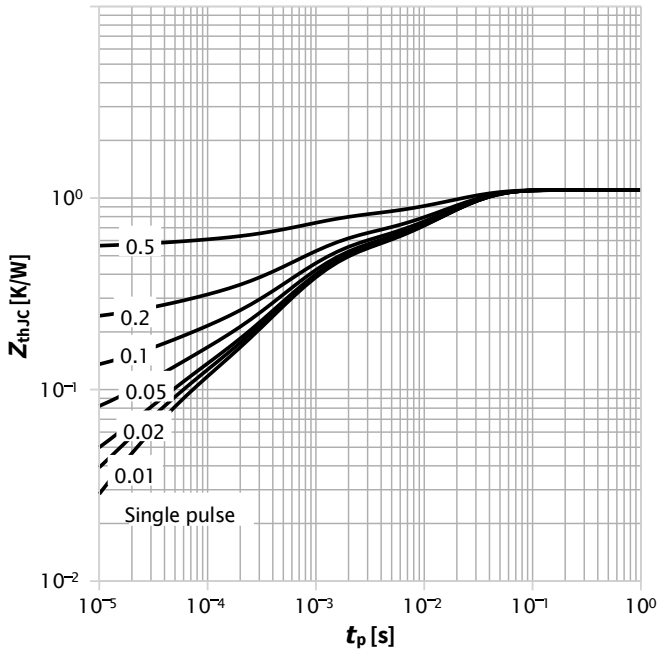

$Z_{thJC}=f(t_p)$; 参数：$D=t_p/T$

图 5：典型输出特性

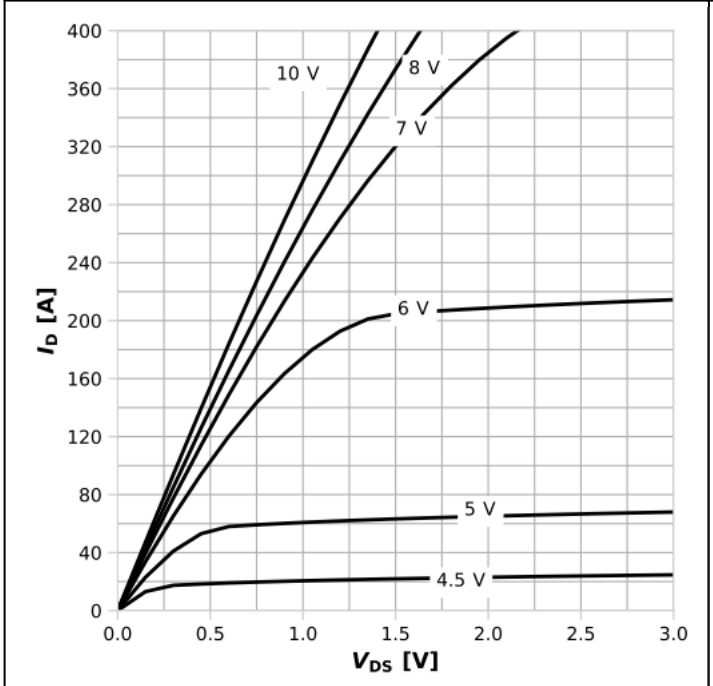

I_D=f(V_{DS}), T_j=25 °C; 参数：V_{GS}

图 6：典型漏源导通电阻

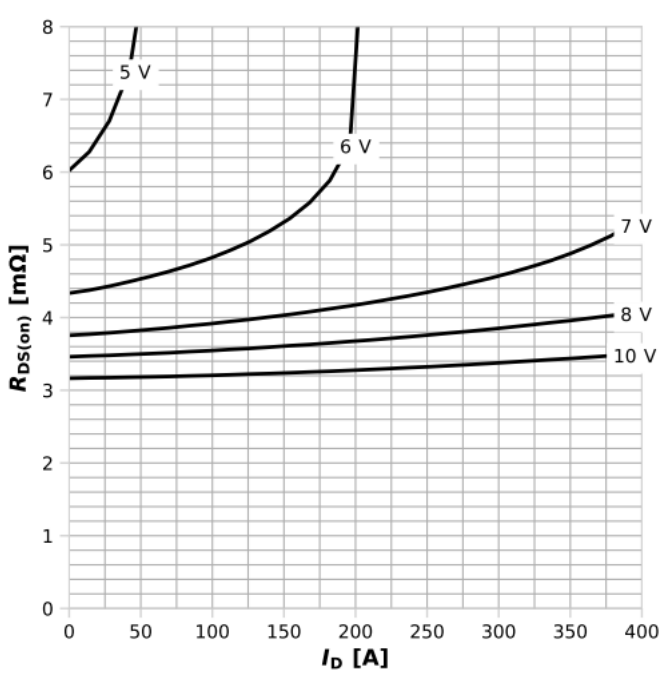

$R_{DS(on)}$=f(I_D), T_j=25 °C; 参数：V_{GS}

图 7：典型转移特性

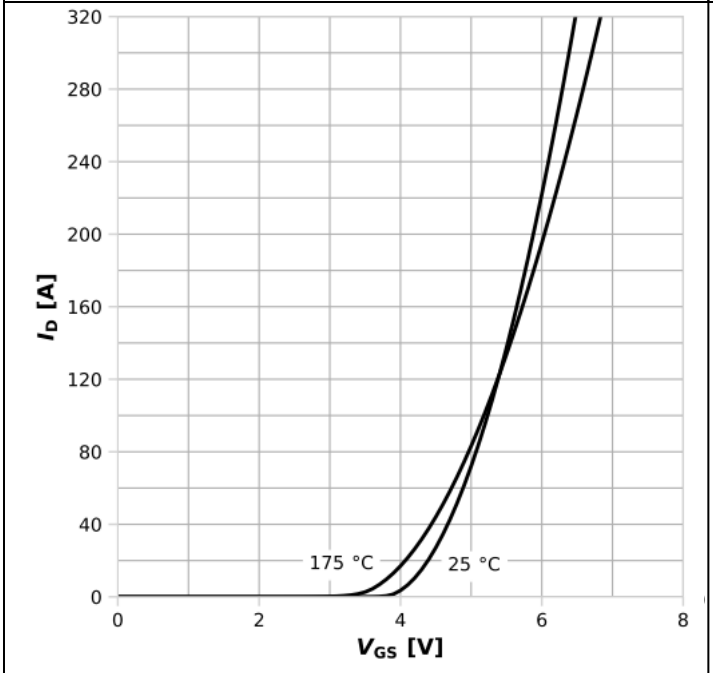

I_D=f(V_{GS}), |V_{DS}|>2|I_D|$R_{DS(on)max}$; 参数：T_j

图 8：典型正向跨导

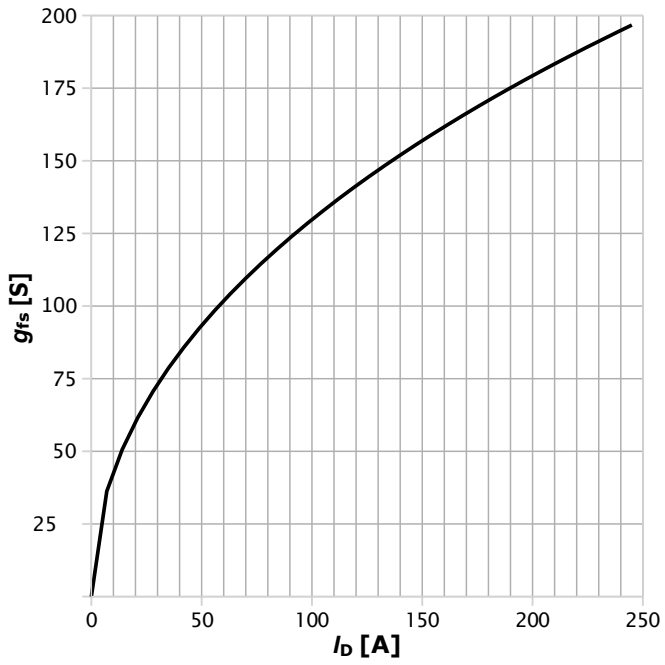

g_{fs}=f(I_D), V_{DS}=3 V, T_j=25 °C

图 9：漏源导通电阻

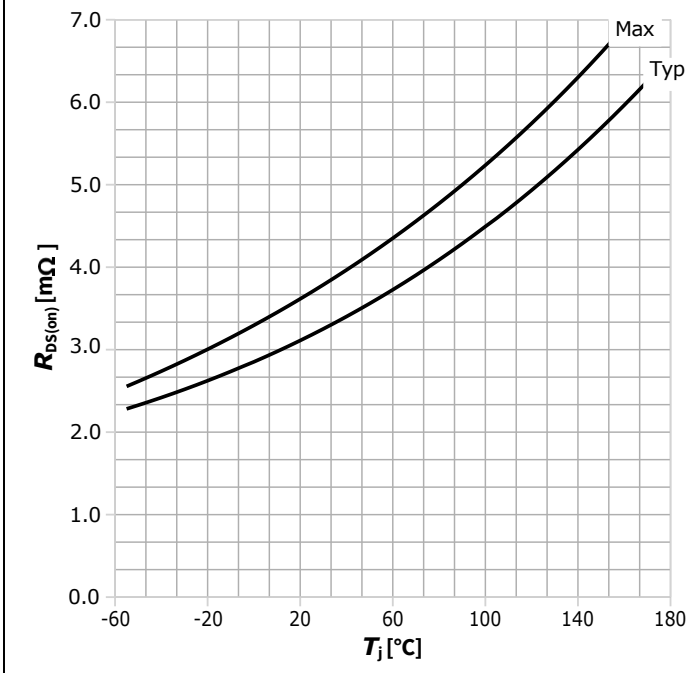

$R_{DS(on)}=f(T_j)$, I_D=50 A, V_{GS}=10 V

图 10：典型栅极阈值电压

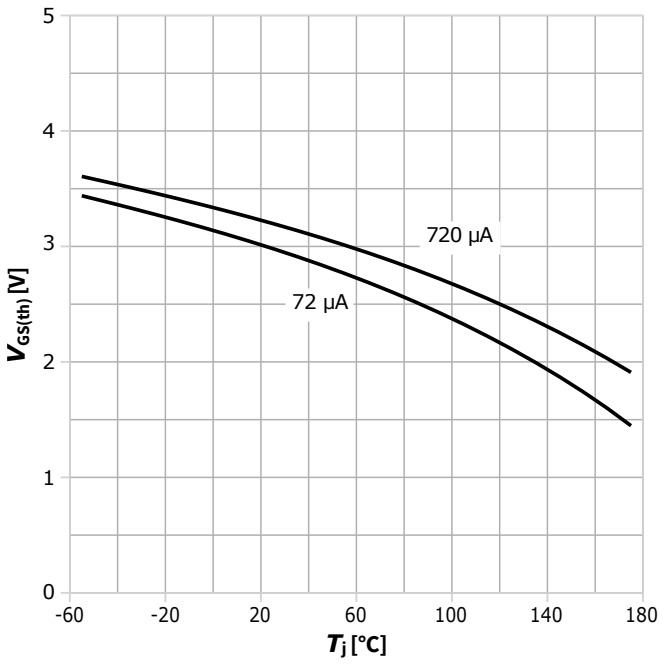

$V_{GS(th)}=f(T_j)$; $V_{GS}=V_{DS}$

图 11：典型电容值

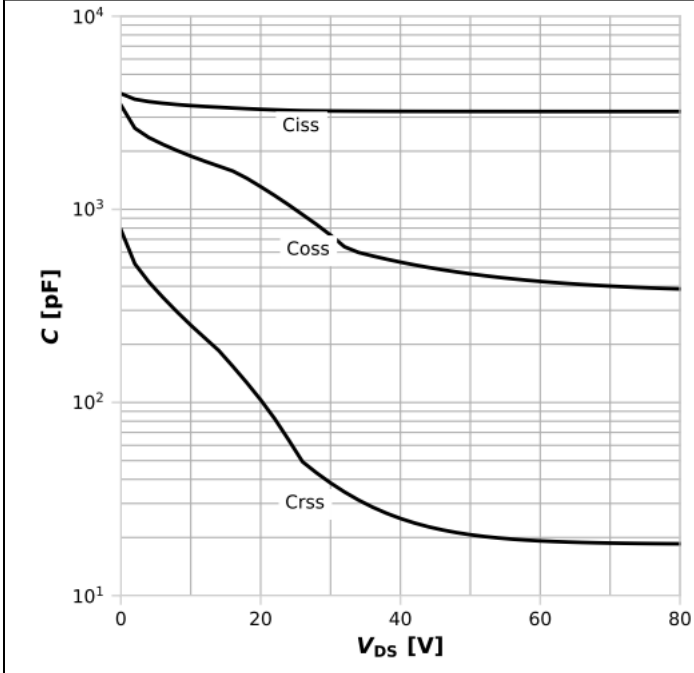

$C=f(V_{DS})$; V_{GS}=0 V; f=1 MHz

图 12：反向二极管的正向特性

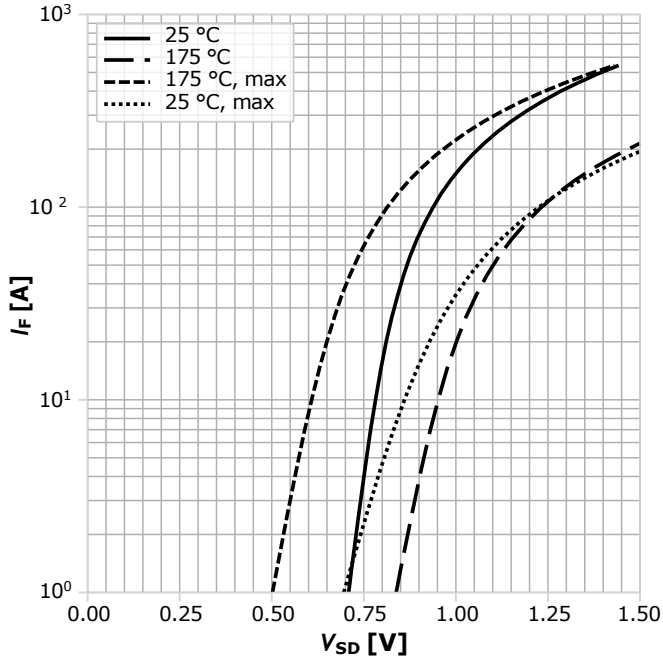

$I_F=f(V_{SD})$; 参数：T_j

图 13：雪崩特性

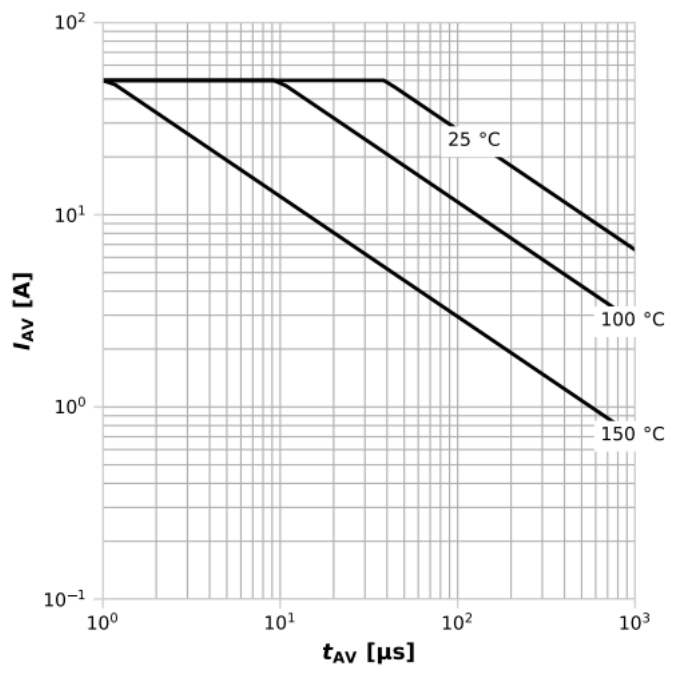

$I_{AS}=f(t_{AV})$; $R_{GS}=25\ \Omega$; 参数：$T_{j(start)}$

图 14：典型栅极电荷

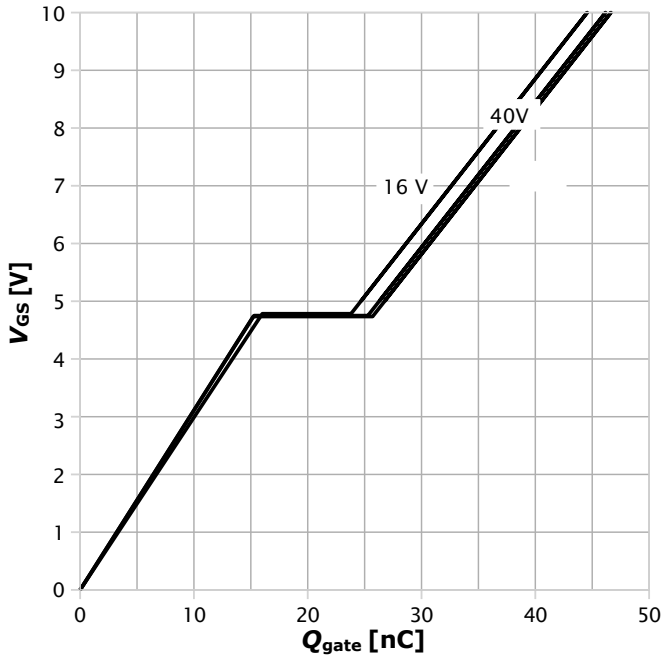

$V_{GS}=f(Q_{gate})$; $I_D=50$ A 脉冲；参数：V_{DD}

图 15：漏源击穿电压

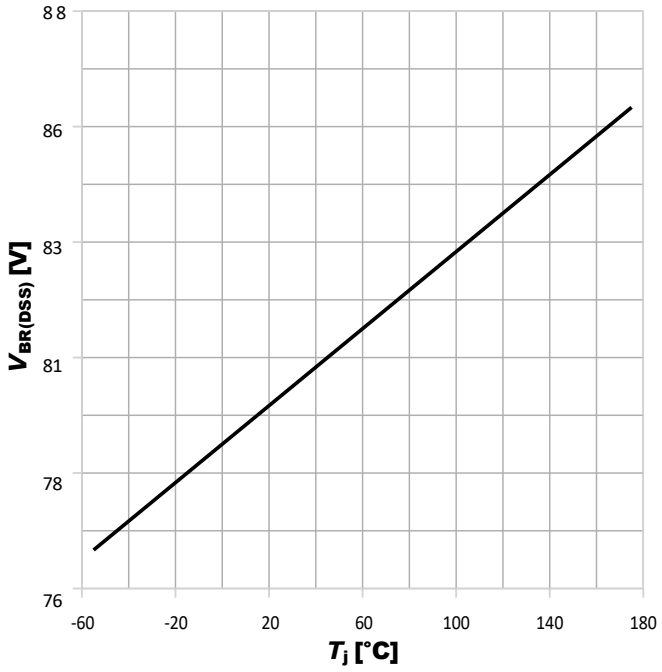

$V_{BR(DSS)}=f(T_j)$; $I_D=1$ mA

栅极充电波形

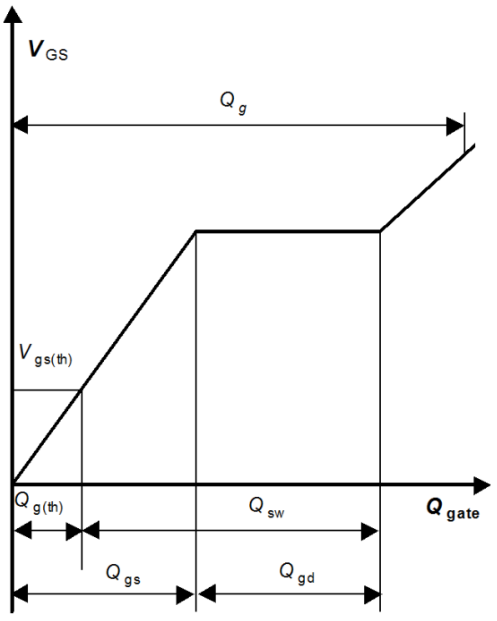

-

5 封装外形尺寸

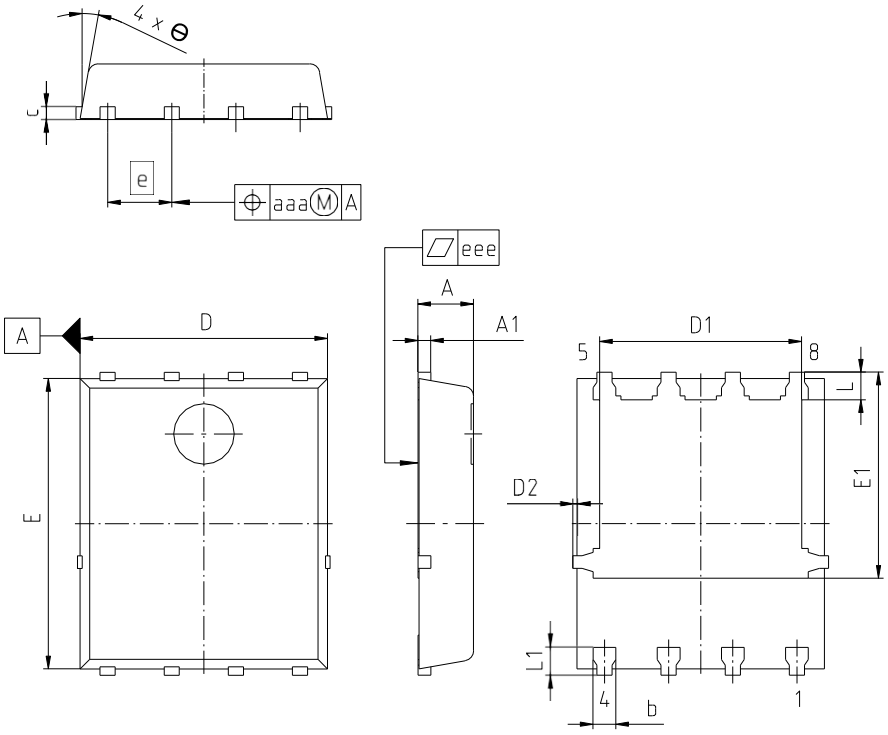

PACKAGE - GROUP NUMBER:	PG-TDSON-8-U08	
DIMENSIONS	**MILLIMETERS**	
	MIN.	MAX.
A	0.90	1.20
A1	0.15	0.35
b	0.34	0.54
c	0.15	0.35
D	4.80	5.35
D1	3.90	4.40
D2	0.00	0.22
E	5.70	6.10
E1	4.03	4.25
e	1.27	
L	0.45	0.72
L1	0.45	0.71
aaa	0.25	
eee	0.05	
Θ	8°	12°

1) EXCLUDING MOLD FLASH
2) REMOVAL ON MOLD GATE
   INTRUSION 0.1 MM
   PROTRUSION 0.1 MM
3) ALL METAL SURFACES ARE PLATED,
   EXCEPT AREA OF CUT

图 1 PG- TDSON- 8 外形图，尺寸单位为毫米

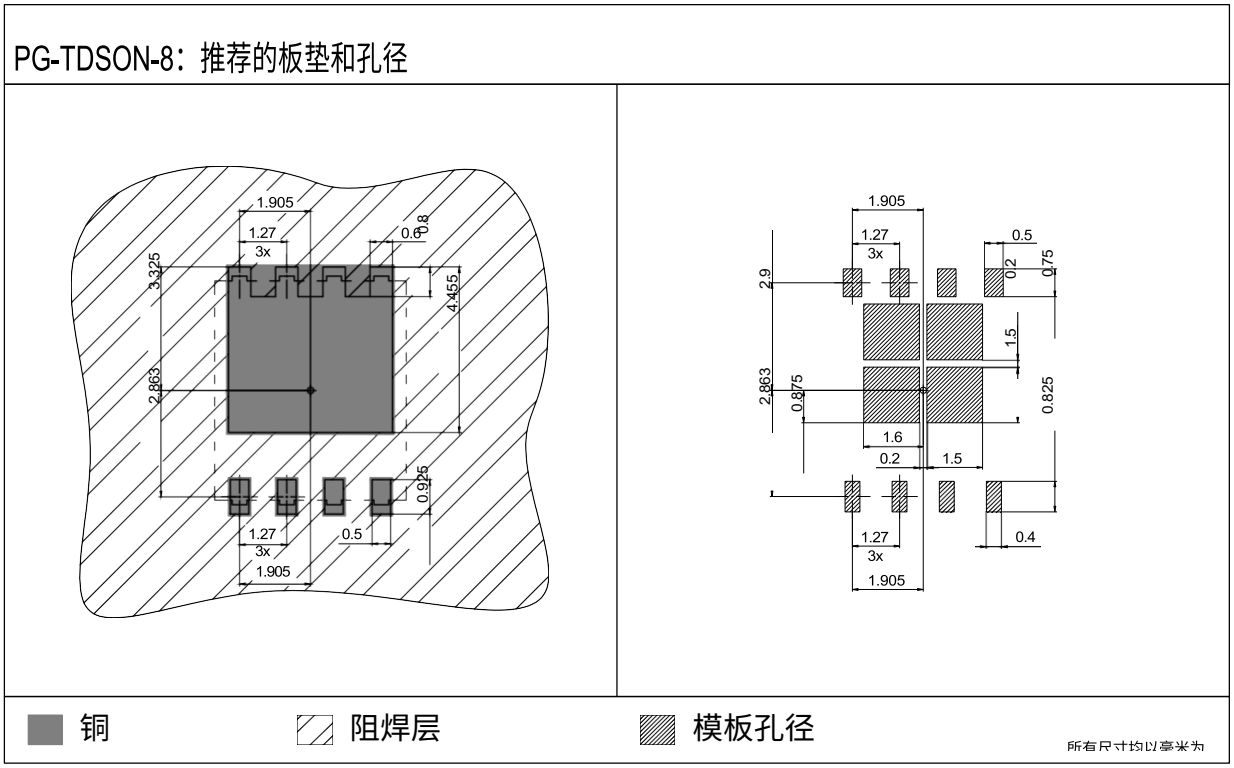

图 2 PG- TDSON- 8 外形图，尺寸单位为毫米

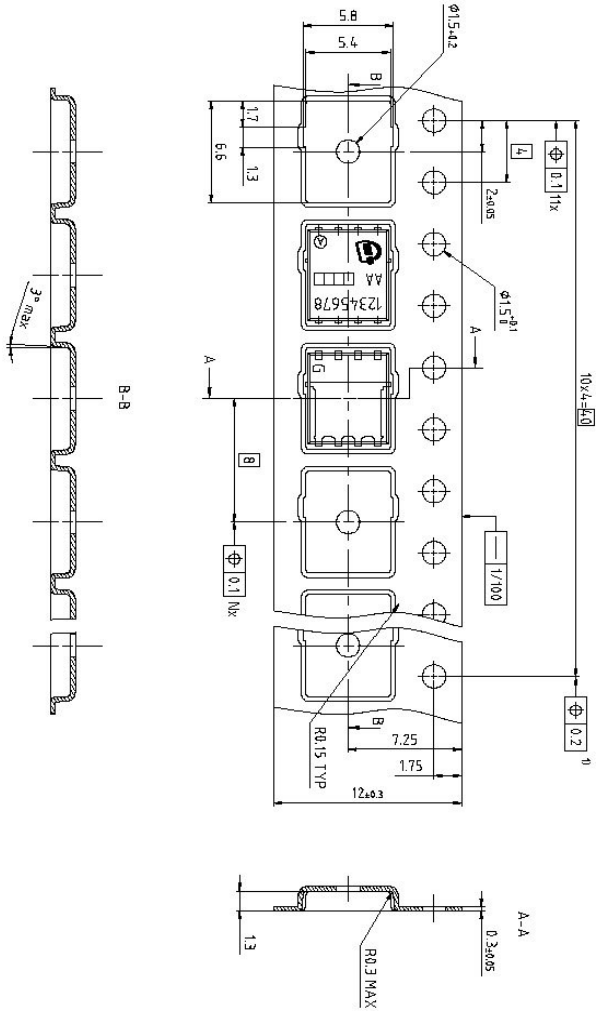

尺寸（毫米）

图 3 PG- TDSON- 8 外形图，尺寸单位为毫米

修订记录

BSC037N08NS5

Revision 2024 - 06 - 11 , Rev. 2 . 4

历史修订版本

Revision	Date	Subjects (major changes since last revision)
2.0	2014-12-17	Release of final version
2.1	2019-03-05	Update Rds(on) typ at Vgs=10V
2.2	2020-02-07	Update package drawings
2.3	2020-07-27	Update current rating
2.4	2024-06-11	Upgrade Operating and storage temperature max to 175°C . Update drawings in section 5 Package Outlines. Production validation added on page1

Published by
Infineon Technologies AG 81726
München, Germany

免责声明

请注意，本文件的原文使用英文撰写，为方便客户浏览英飞凌提供了中文译文。该中文译文仅供参考，并不可作为任何论点之依据。
由于翻译过程中可能使用了自动化程序，以及语言翻译和转换过程中的差异，最后的中文译文与最新的英文版本原文含义可能存在不尽相同之处。
因此，我们同时提供该中文译文版本的最新英文原文供您阅读，请参见 http://www.infineon.com
英文原文和中文译文版本之间若存有任何歧异，以最新的英文版本为准，并且仅认可英文版本为正式文件。
您如果使用本文件，即表示您同意并理解上述说明。英飞凌不对因翻译过程中可能存在的任何不完整或不准确信息而产生的任何直接或间接损失或损害负责。英飞凌不承担中文译文版本的完整性和准确性责任。如果您不同意上述说明，请不要使用本文件。

Edition 2025-04-21
Published by

Infineon Technologies AG
81726 Munich, Germany

Do you have a question about this document?
Email:
erratum@infineon.com

重要提示

本文档所提供的任何信息绝不应当被视为针对任何条件或者品质而做出的保证（质量保证）。英飞凌对于本文档中所提及的任何事例、提示或者任何特定数值及/或任何关于产品应用方面的信息均在此明确声明其不承担任何保证或者责任，包括但不限于其不侵犯任何第三方知识产权的保证均在此排除。此外，本文档所提供的任何信息均取决于客户履行本文档所载明的义务和客户遵守适用于客户产品以及与客户对于英飞凌产品的应用所相关的任何法律要求、规范和标准。

本文档所含的数据仅供经过专业技术培训的人员使用。客户自身的技术部门有义务对于产品是否适宜于其预期的应用和针对该等应用而言本文档中所提供的信息是否充分自行予以评估。

警告事项

由于技术所需产品可能含有危险物质。如需了解该等物质的类型，请向离您最近的英飞凌科技办公室接洽。

除非由经英飞凌科技授权代表签署的书面文件中做出另行明确批准的情况外，英飞凌科技的产品不应当被用于任何一项一旦产品失效或者产品使用的后果可被合理地预料到可能导致人身伤害的任何应用领域。